

Zasadnicze transmitancję w URA i funkcje wrażliwości

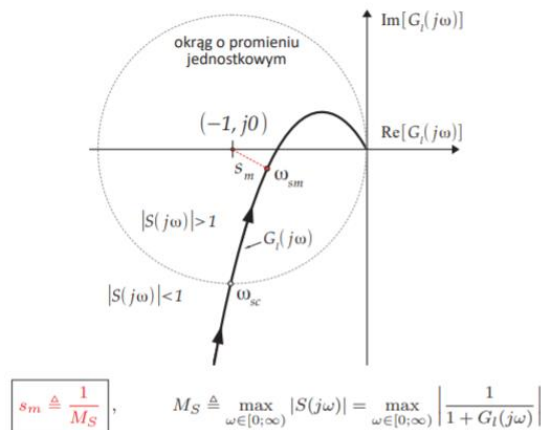
$$\frac{G_R G_o}{1 + G_R G_o}, \quad \frac{G_o}{1 + G_R G_o}, \quad \frac{G_R}{1 + G_R G_o}, \quad \frac{1}{1 + G_R G_o}$$

$$\underbrace{\frac{G_R(j\omega)G_o(j\omega)}{1 + G_R(j\omega)G_o(j\omega)}}_{T(j\omega)} + \underbrace{\frac{1}{1 + G_R(j\omega)G_o(j\omega)}}_{S(j\omega)} = 1 \quad \forall \omega \in [0; \infty)$$

- Funkcja wrażliwości

$$S(j\omega) = \frac{1}{1 + G_R(j\omega)G_o(j\omega)} = \frac{1}{1 + G_l(j\omega)}$$

Moduł funkcji wrażliwości określa miarę odporności jakości sterowania w URA i określa miarę względnej efektywności tłumienia wpływu zewnętrznego zaburzenia D w URA.



- Komplementarna funkcja wrażliwości

$$T \stackrel{(6)}{=} 1 - S = 1 - \frac{1}{1 + G_R G_o} = \frac{G_R G_o}{1 + G_R G_o} \equiv G_c \Rightarrow \boxed{\frac{Y(j\omega)}{Y_r(j\omega)} = T(j\omega)}$$

Określa miarę jakości regulacji w URA. Moduł jej określa miarę odporności stabilności URA na duże zaburzenia modelu obiektu.

Górne ograniczenie dopuszczalnej względnej zmiany transmitancji obiektu regulacji:

$$t_m \triangleq \frac{1}{M_T}, \quad M_T \triangleq \max_{\omega \in [0; \infty)} |T(j\omega)| = \max_{\omega \in [0; \infty)} \left| \frac{G_R(j\omega)G_o(j\omega)}{1 + G_R(j\omega)G_o(j\omega)} \right|$$

- Pasmo przenoszenia

$$\boxed{[0; \omega^*], \quad \omega^* \in \{\omega_b, \omega_c, \omega_{bt}\} > 0}$$

- ω_b – określa pasmo przenoszenia URA z perspektywy funkcji $S(j\omega)$ – przejście $Lm(S(j\omega))$ od dołu przez wartość $-3dB \Rightarrow |S(j\omega_b)| = 1/\sqrt{2} \approx 0.707$
- ω_c – pulsacja, dla której $Lm(G_l(j\omega_c)) = 0dB \Rightarrow |G_l(j\omega_c)| = 1 \quad (G_l(j\omega) \triangleq G_R(j\omega)G_o(j\omega))$
- ω_{bt} – określa pasmo przenoszenia URA z perspektywy funkcji $T(j\omega)$ – przejście $Lm(T(j\omega))$ od góry przez wartość $-3dB \Rightarrow |T(j\omega_{bt})| = 1/\sqrt{2} \approx 0.707$

Dla większości systemów praktycznych zachodzi relacja: $\boxed{\omega_b \leq \omega_c \leq \omega_{bt}}$.

Wskaźniki jakości sterowania

- ustalony (uśredniony) uchyb regulacji

$$|e(\infty)| = \lim_{t \rightarrow \infty} |e(t)| \quad \text{lub} \quad |e(t \geq \bar{t})| \quad \text{lub} \quad m \triangleq \frac{1}{N} \sum_{i=N_1}^{N_2} e^*(iT_p) \quad (15)$$

dla: $\bar{t} \gg 0, \quad \bar{t} \leq T_p N_1 \ll T_p N_2 < \infty, \quad N = N_2 - N_1$.

Przy braku pomiarowych zakłóceń losowych $d_p(t)$ stan 'ustalony' w praktyce określa się dla $\bar{t} \geq 5T$, gdzie $T > 0$ jest dominującą stałą czasową odpowiedzi $y(t)$. W obecności zakłóceń losowych $d_p(t)$ wyznacza się wartość średnią m dla sygnału $e^* \triangleq e - d_p$.

- kres górny bezwzględnej wartości uchybu quasi-ustalonego

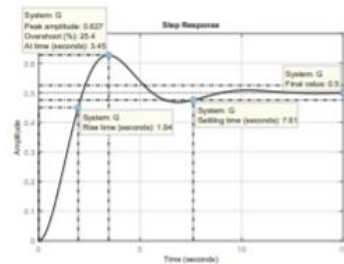
$$\sup_{t \in [t_1; t_2]} |e(t)| \quad \text{dla} \quad \bar{t} \leq t_1 \ll t_2 < \infty \quad (16)$$

Stosowane w przypadku ustalonych oscylacji uchybu w otoczeniu zera pomimo braku pomiarowych zakłóceń losowych.

- empiryczna wariancja uchybu quasi-ustalonego

$$\sigma^2 = \frac{1}{N_2 - N_1 - 1} \sum_{i=N_1}^{N_2} [e^*(iT_p) - m]^2, \quad \bar{t} \leq T_p N_1 \ll T_p N_2 < \infty \quad (17)$$

- czas narastania T_r – czas pierwszego osiągnięcia 90% wartości $y(\infty)$
- czas ustalania $T_{s\alpha\%}$ do tunelu $\alpha\%$ – czas wejścia w tunel $\pm\alpha\%$ wokół wartości $y(\infty)$
- przeregulowanie względne: $\kappa_{\%} \triangleq \frac{\bar{y} - |y(\infty)|}{|y(\infty)|} 100\%, \quad \bar{y} \triangleq \sup_{t \in [t_0, \infty)} |y(t)|$
- dekrement tłumienia: $\rho \triangleq \frac{y_2}{y_1}, \quad y_1 \equiv \bar{y}, \quad y_2$ – druga amplituda wychylenia ponad $|y(\infty)|$
- energia uchybu w horyzoncie czasowym $(t_2 - t_1) > 0$: $J_e \triangleq \int_{t_1}^{t_2} e^2(t) dt$
- koszt sterowania w horyzoncie czasowym $(t_2 - t_1) > 0$: $J_u \triangleq \int_{t_1}^{t_2} u^2(t) dt$



Terminologia angielszczyzna:

T_r (rise time), $T_{s\alpha\%}$ (settling time), $\kappa_{\%}$ (relative overshoot), ρ (decay ratio), J_e (error energy), J_u (control cost)

Popularne zakresy projektowe

- $1\% \leq \alpha \leq 5\%$
- $\kappa_{\%} \leq 20\%$
- $\rho \leq 0.3$

- maksymalna wrażliwość

$$M_S \triangleq \max_{\omega \in [0; \infty)} |S(j\omega)| = \max_{\omega \in [0; \infty)} \left| \frac{1}{1 + G_R(j\omega)G_o(j\omega)} \right| \quad (18)$$

- maksymalna komplementarna wrażliwość

$$M_T \triangleq \max_{\omega \in [0; \infty)} |T(j\omega)| = \max_{\omega \in [0; \infty)} \left| \frac{G_R(j\omega)G_o(j\omega)}{1 + G_R(j\omega)G_o(j\omega)} \right| \quad (19)$$

- margines stabilności s_m oraz górne ograniczenie t_m dopuszczalnej względnej zmiany G_o

$$s_m \triangleq \frac{1}{M_S}, \quad t_m \triangleq \frac{1}{M_T} \quad (20)$$

- zapas modułu GM (Gain Margin) i zapas fazy PM (Phase Margin) – związki z M_S i M_T

$$GM \geq \frac{M_S}{M_S - 1}, \quad PM \geq 2 \arcsin \left(\frac{1}{2M_S} \right) \quad (21)$$

$$GM \geq \frac{M_T + 1}{M_T}, \quad PM \geq 2 \arcsin \left(\frac{1}{2M_T} \right) \quad (22)$$

(Np. dla $M_S = 1.7$ mamy $GM \geq 2.4$ i $PM \geq 34^\circ$, dla $M_T = 1.1$ mamy $GM \geq 1.9$ i $PM \geq 54^\circ$)

Fundamentalne ograniczenia

- Niekompensowalność zer w RHP oraz opóźnienia transportowego.
- Ograniczenie wzmocnienia regulatora z powodu zer w RHP- można dojść do utraty stabilności
- Początkowe podregulowanie z powodu zera w RHP
- Całka Bodego

$$\int_0^{\infty} \ln |S(j\omega)| d\omega = \begin{cases} 0 & \text{dla } \tau > 0 \\ -\mu \frac{\pi}{2} & \text{dla } \tau = 0 \end{cases}, \quad \text{gdzie } \mu \triangleq \lim_{s \rightarrow \infty} s H_I(s).$$

- Skuteczność FFr przy nieznajomości modelu obiektu

Koszt sterowania

$$J_u \triangleq \int_{t_1}^{t_2} u^2(t) dt, \quad 0 \leq t_1 < t_2 < \infty$$